

1. はじめに

積分方程式法(または境界要素法)の長所は、比較的単純な近似による、かつ精度の高い近似解が得られることである。しかしながら、境界が隅角を有する場合には、隅角点付近で解が十分に近似されないことがしばしばある。この原因は、隅角境界点付近では積分方程式の核に特異性を生じ、そのために、Fredholmの定理が適用できなくなり、未知関数を連続な解として決めることができなくなるからである。このことは、積分方程式を数値近似する段階で重要な問題となる。境界が区分的に与えられる場合は、積分方程式の解の定義は区分的に連続な解となる可能性がある。また、そのような場合、隅角点付近の解を十分に正確に求めることが可能である。しかし、通常は近似法を用いるように、解として、例えば階段関数や区分的な関数のように有限な値しか取り得ない関数を仮定すれば、上記のように境界の一部で発散する解を十分に近似表現することは不可能である。これらのことは、扱う問題の種類、用いる特異核を伴った積分方程式、または境界条件などによって、問題となる取り扱いが異なるが、いずれにしても、何らかの方法で隅角点付近の解を改善させることは必要である。これはまたいくつかの方法が提案されてきているが、いずれも、隅角境界付近で固有解を、本来の積分表現した解に重ね合わせて近似解を表現する方法に似ている。この方法は良い近似解を与えるが、解の積分表現とは別の余分な項を付け加えることとなるので、煩雑な手続きが必要となる。ここでは、積分方程式法による解の隅角付近での性質を考察し、もっと単純な方法を用いて、実用上十分な精度の近似解が得られることを示す。

2. 隅角付近での解の特性

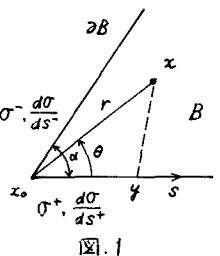
簡単なために、St. Venantのねじり問題について考察を進める。応力関数 ϕ について、与えられる領域 B とその境界 ∂B において(簡単なため、領域は単連結とする)

$$\begin{aligned} \nabla^2 \phi &= -2G\gamma & \text{in } B & \quad (G: \text{せん断弾性係数}, \gamma: \text{ねじり率}) \\ \phi &= 0 & \text{on } \partial B \end{aligned} \tag{1}$$

が成立しなければならない。問題を支配するものはLaplace作用素 ∇^2 であるから、 $\nabla^2 \phi = 0$ となる解 ϕ のみを考慮することはでき、上の境界条件を満足する、隅角 α の隅角部付近での解は、

$$\phi = \sum_{n=1}^{\infty} C_n r^{\frac{n\pi}{\alpha}} \sin \frac{n\pi\theta}{\alpha}, \quad 0 \leq \theta \leq \alpha \quad (\phi = 0 \text{ on } \partial B) \tag{2}$$

となる(図.1)。すなわち、 $\phi \sim r^\beta$ であり、 $n=1$ とすれば、 $\alpha > \pi$ とせば $\frac{1}{2} < \beta < 1$ 、 $\alpha \leq \pi$ とせば $\beta \geq 1$ となる。結局、 $\alpha \leq \pi$ とせば、隅角付近で解はどの程度も含めて与えられるが、 $\alpha > \pi$ とせば、隅角付近で勾配が無限大に近づく。



3. 隅角付近での積分方程式法による近似解の特性

いま、応力関数の解の形を境界上に分布する密度 $\sigma(y)$ による一重層ポテンシャルで、

$$\phi(x) = -\frac{1}{2} G\gamma |z|^2 + \phi(x), \quad \phi(x) = \int_{\partial B} \frac{1}{2\pi} \log \frac{1}{|z-y|} \cdot \sigma(y) ds_y \tag{3}$$

と表す。第一項の特解は問題はない。第二項の隅角 α の隅角付近での挙動について見てみよう。まず、密度 $\sigma(y)$ を隅角付近でTaylor展開して、

$$\sigma(y) = \sigma^*(x_0) + (Sy - S(x_0)) \frac{d\sigma}{ds} + \dots \tag{4}$$

とし、これをこの項の密度に対応する一重層ポテンシャルは

$$\phi(z) = \phi_0(z) + \phi_1(z) + \dots \quad (5)$$

とす。こゝに、 ϕ_0, ϕ_1 は、隅角部の特異性に関する項だけについて整理すると、(図1)。

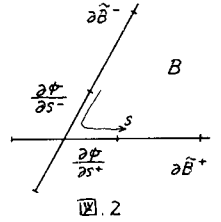
$$\phi_0(z) = -\frac{1}{2\pi} r (\log r - 1) [O^- \cos(\alpha - \theta) + O^+ \sin \theta] + E(r) \quad E(r) \sim r \quad (5a)$$

$$\phi_1(z) = -\frac{1}{4\pi} r^2 \log r \left[\frac{dO^-}{ds^-} \cos(\alpha - \theta) + \frac{dO^+}{ds^+} \cos 2\theta \right] + E(r^2) \quad E(r^2) \sim r^2$$

となる。一重層ポテンシャルによる隅角部の特異性は、 ϕ の勾配が無限大になる程度のものである。これは隅角部における密度の値によつて決まる。特異性が消えるのは、 $O^+ = O^- = 0$ 、または、 $O^+ = O^-$ かつ $\alpha = \pi$ となるだけである。

4. 隅角部の近似法に関する一考察

2.3 の結果をもちいて、隅角部の密度の近似法を考へてみる。基本的な方針は、「隅角部の実際の解の性質に似た性質をもつような式(3)の表現を導く」といふことである。こゝでは、最も単純な発想にもとづく、一つの方法を検討してみる。方針は次のとおりである。



(1) $\alpha > \pi$ ときには何も手を加へない。すなわち、 $r \log r$ と r^β ($0 < \beta < 1$) とは、勾配の連続性という観点からは、本来似たような性質をもつのであるから、そのまゝでも解は十分に近似されるであろう。

(2) $\alpha < \pi$ ときには、 ϕ の特異性を回避するように、隅角部の密度分布を領域外にだけ延長させ、隅角部で特異性が生じないようにする。(図-2)。この場合には、各隅角部ごとに未知数が増加するから、新しい条件を付け加へてやる。こゝでは

$$\frac{\partial \phi}{\partial s^-} + \frac{\partial \phi}{\partial s^+} = 0 \quad (6)$$

とすれば。

5. 解析例と考察

解析例とは、密度を境界上で区分け関数として近似した。図3は、 $\alpha > \pi$ ときの隅角付近の近似解の例を示す。式(3)の表現で、 $\phi \sim r^\beta$ とすると、 β はほぼ正解に近い値を示している。実用上はこの程度の近似解で十分であろう。図4は、 $\alpha < \pi$ ときの解析例である。境界の分割数は18(4の方法を用いる場合、未知数は3個ふたふた21となる)であるが、何も手を加へない場合(●, ▲)と比べて、4-述べた方法(O, △)の効果は明らかであろう。

同様の方法を平面弾性問題や平板の曲げ問題への適用、各種の特異境界点の取り扱い等については当日発表する。

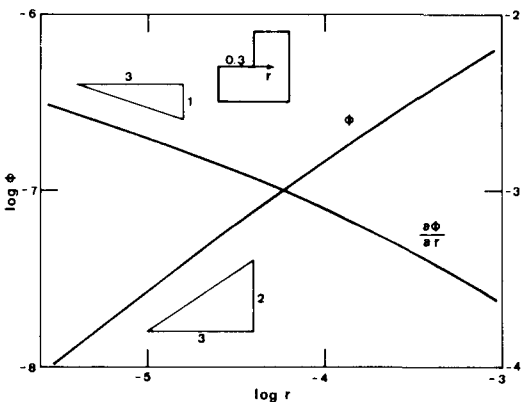


図. 3

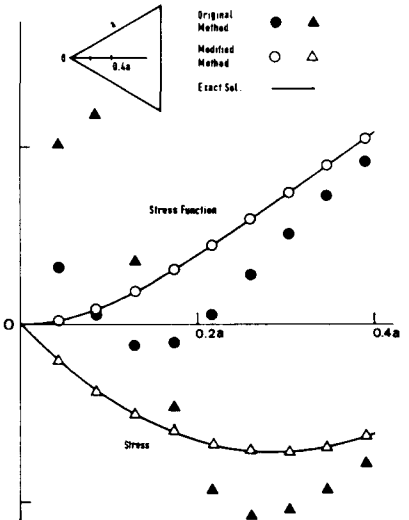


図. 4